

Для конкретной структуры среды [3] проведены расчеты на ЭВМ для

$$(1.17) \quad \alpha_1 = 12,127 \cdot 10^2, \quad \alpha_2 = 58,73 \cdot 10^3, \quad E = 90,16 \cdot 10^3, \\ \rho_0 = 200 \text{ кг} \cdot \text{с}^2/\text{м}^4, \quad p_0 = 105 \text{ кг}/\text{см}^2,$$

$$D = 340 \sqrt{1 + 0,83p_0}, \quad R_1 = \text{tg } \alpha_0 = 0,1255, \quad R_2 = 0,86 \cdot 10^{-3}, \quad h = 1,2 \text{ м.}$$

Результаты расчетов представлены на рис. 2—5 для давления, массовой скорости и  $\text{tg } \beta$  ( $\xi$ ) в зависимости от  $\xi$  в сечениях  $\eta = h/2$  (сплошные),  $h$  (штриховые линии) и вдоль фронта отраженной волны  $\Sigma_0$ . На рис. 2 видно, что параметры  $p$ ,  $u$ ,  $v$  в областях  $I$  и  $3$  в зависимости от  $\xi$  по абсолютной величине уменьшаются нелинейным образом. В области  $2$   $p$ ,  $u$  линейно возрастают, а  $v$  линейно уменьшается и меняет знак. Эти параметры достигают своего максимального значения на соответствующих точках фронта отраженной волны со стороны области  $3$ , их значения с увеличением толщины полосы уменьшаются (рис. 2, 3,  $h = 1$  и  $2$  м). На рис. 3 кривые  $I$  отвечают случаю (1.17) при  $h = 2$  м. При сопоставлении числовых результатов обнаружено, что с увеличением коэффициентов  $\alpha_1$  и  $\alpha_2$  происходит рост значений параметров  $p$ ,  $u$ ,  $v$ . При уменьшении модуля Юнга  $E$  соответственно уменьшаются все параметры среды и время их действия на полосу (рис. 3, кривые 2). Анализ кривых рис. 4 показывает, что давление  $p_3$  ( $p_2^*$ ) со стороны области  $3$  ( $2$ ) вдоль фронта отраженной волны в зависимости от  $\xi$  постепенно падает (растет), а вертикальная (горизонтальная) составляющая скорости среды увеличивается (уменьшается). При этом в момент  $\xi = 23,6$  м отраженная волна угасает. Кроме того, на рис. 4 для сравнения приведены также результаты расчетов для  $\alpha_1 = 12,127 \cdot 10^2$ ,  $\alpha_2 = 58,73 \cdot 10^3$  при  $h = 2$  м (сплошные линии) и  $h = 1$  м (штриховые), для  $\alpha_1 = 24,254 \cdot 10^2$ ,  $\alpha_2 = 117,46 \cdot 10^3$  при  $h = 2$  м (линии с кружочками). Изучая кривую  $\text{tg } \beta(\xi)$  (рис. 5), заметим, что она с увеличением  $\xi$  медленно уменьшается, и, следовательно, фронт отраженной волны получается слабоискривленным и вогнутым к оси  $O\xi$  (см. рис. 1) поверхностью. Однако изменение  $\text{tg } \beta(\xi)$  в рассматриваемом интервале  $\xi$  по сравнению с его первоначальным значением в точке  $\xi = \xi_0$ ,  $\eta = h$  составляет приблизительно 2—4%.

#### ЛИТЕРАТУРА

1. Скобеев А. М., Флитман Л. М. Подвижная нагрузка на неупругой полуплоскости. — ПММ, 1970, т. 34, вып. 1.
2. Капустянский С. М. Распространение и отражение двумерных пластических волн. — Изв. АН СССР. МТТ, 1973, № 1.
3. Атабаев К. О воздействии подвижной нагрузки на полуплоскость. — ДАН УзССР, 1979, № 9.
4. Мамадалиев Н., Молев В. П. О распространении двумерной пластической волны в нелинейно-сжимаемой полуплоскости. — ПМТФ, 1977, № 4.

Поступила 4/IV 1985 г.

УДК 532.135

### НЕИЗОТЕРМИЧЕСКАЯ НЕУСТОЙЧИВОСТЬ ВЫСОКОСКОРОСТНЫХ УИРУГОПЛАСТИЧЕСКИХ ТЕЧЕНИЙ

В. М. Волчков, А. А. Козлов, П. В. Кузин

(Волгоград)

Существенная особенность высокоскоростного деформирования твердых тел — локализация деформации, одной из причин которой может быть неизоэнтальпическая неустойчивость пластического течения [1—6]. В связи с интенсивным развитием высокоскоростной технологии обработки материалов исследование критериев неизоэнтальпической неустойчивости процессов пластической деформации представляет принципиальный интерес, так как в некоторых случаях они определяют оптимальные технологические режимы [5]. Критические величины скоростей деформации, выше которых эффекты тепловой неустойчивости становятся определяющими в процессе деформирования твердых тел, полуэмпирическими методами оценены в [1].

В [2] рассмотрена некраевая задача о критериях неизотермической неустойчивости с точки зрения устойчивости течения в так называемой связанной постановке. Последнее означает, что к основным уравнениям, определяющим динамику упруго-пластической среды, добавляется уравнение теплопроводности. В аналогичной постановке, но для осредненного по пространственной координате течения задача решена в [6]. В настоящей работе в указанной постановке дано решение краевой задачи для одномерного течения.

1. В дальнейшем принимается модель Максвелла упруговязкой среды, что удовлетворительно описывает поведение материала при высоких скоростях деформирования [7].

В этом случае уравнения одномерного движения среды записываются в виде

$$(1.1) \quad \rho \frac{\partial u}{\partial t} = \frac{\partial \sigma}{\partial y}, \quad \frac{1}{G} \frac{\partial \sigma}{\partial t} = \frac{\partial u}{\partial y} - \frac{\sigma}{\mu}, \quad \rho c \frac{\partial T}{\partial t} = \lambda \frac{\partial^2 T}{\partial y^2} + \frac{\sigma^2}{\mu}$$

$$(\mu = \mu_0 \exp |-\beta(T - T_0)|),$$

где  $\rho$  — плотность среды;  $G$  — модуль сдвига;  $c$ ,  $\lambda$  — теплоемкость и теплопроводность среды;  $u$  — скорость течения;  $\sigma$  — напряжение;  $T$  — температура;  $\mu_0$ ,  $\beta$  — константы в формуле Рейнольдса для вязкости.

Система (1.1) исследуется при граничных условиях:

$$\frac{\partial T}{\partial y} = 0, \quad u = V_0 \text{ при } y = h,$$

$$\lambda \frac{\partial T}{\partial y} = \alpha(T - T_0), \quad u = 0 \text{ при } y = 0.$$

Здесь  $\alpha$  — коэффициент теплоотдачи на границе;  $V_0$  — скорость верхней границы;  $T_0$  — температура окружающей среды.

Введем безразмерные переменные [6]:

$$\tilde{u} = u/V_0, \quad \tilde{\sigma} = \sigma/GDT_0, \quad \Theta = \beta(T - T_0),$$

$$\tilde{t} = t/t_0, \quad \tilde{y} = y/h,$$

где

$$t_0 = c\rho h/\alpha; \quad t_1 = c\rho/(\beta\mu_0 D^2);$$

$$t_2 = \mu_0/G; \quad t_3 = h^2\rho/G, \quad D = V_0/h;$$

$t_0$ ,  $t_1$ ,  $t_2$ ,  $t_3$  — характерные времена теплоотвода, тепловыделения, упругой релаксации, распространения упругих волн.

В указанных безразмерных переменных уравнения (1.1) примут вид

$$(1.2) \quad \frac{\partial \tilde{u}}{\partial \tilde{t}} = A \frac{\partial \tilde{\sigma}}{\partial \tilde{y}}, \quad \frac{\partial \tilde{\sigma}}{\partial \tilde{t}} = \frac{\partial \tilde{u}}{\partial \tilde{y}} - \delta \tilde{\sigma} \exp(\Theta),$$

$$\frac{\partial \Theta}{\partial \tilde{t}} = \frac{1}{Bi} \frac{\partial^2 \Theta}{\partial \tilde{y}^2} + \kappa \delta^2 \tilde{\sigma}^2 \exp(\Theta)$$

при граничных условиях

$$(1.3) \quad \frac{\partial \Theta(1, \tilde{t})}{\partial \tilde{y}} = 0, \quad \frac{\partial \Theta(0, \tilde{t})}{\partial \tilde{y}} = Bi \Theta(0, \tilde{t}),$$

$$\tilde{u}(0, \tilde{t}) = 0, \quad \tilde{u}(1, \tilde{t}) = 1$$

$$(\delta = t_0/t_2, \quad \kappa = t_0/t_1, \quad A = t_0/t_3, \quad Bi = \alpha h/\lambda).$$

Далее верхняя черта, обозначающая безразмерную переменную, опускается. Стационарным решением задачи (1.2), (1.3) является

$$(1.4) \quad u_0 = \frac{2c_1}{\delta \kappa \sigma_0 Bi} \left[ \frac{1}{1 + \exp(-c_1)} - \frac{1}{1 + \exp(c_1(y-1))} \right],$$

$$\sigma_0 = \frac{c_1}{\delta \kappa Bi} \frac{1 - \exp(-c_1)}{1 + \exp(-c_1)} = \text{const}_x$$

$$\exp(\Theta_0) = \frac{2c_1^2 \exp(c_1(y-1))}{\delta^2 \kappa Bi \sigma_0^2 [1 + \exp(c_1(y-1))]^2},$$

где постоянная интегрирования  $c_1$  находится из условия

$$\kappa = \frac{(\exp(c_1) - 1)^2}{2 \text{Bi} \exp(c_1)} \exp \left[ \frac{c_1}{\text{Bi}} \left( \frac{\exp(c_1) - 1}{\exp(c_1) + 1} \right) \right].$$

Положив

$$u = u_0(y) + u'(y)e^{\beta t}, \quad \sigma = \sigma_0(y) + \sigma'(y)e^{\beta t}, \\ \Theta = \Theta_0(y) + \Theta'(y)e^{\beta t},$$

получим задачу об устойчивости стационарного решения (1.4) относительно малых возмущений  $u'(y)$ ,  $\sigma'(y)$ ,  $\Theta'(y)$ :

$$(1.5) \quad \beta u' = A d\sigma'/dy, \\ \beta \sigma' = du'/dy - \delta \sigma' \exp(\Theta_0) - \delta \sigma_0 \Theta' \exp(\Theta_0), \\ \beta \Theta' = \frac{1}{\text{Bi}} \frac{d^2 \Theta'}{dy^2} + \kappa \delta^2 \sigma_0^2 \Theta' \exp(\Theta_0) + 2\kappa \delta^2 \sigma_0 \sigma' \exp(\Theta_0).$$

Здесь параметр  $\beta$  характеризует интенсивность роста возмущений. Если  $\text{Re } \beta > 0$ , течение неустойчиво. Вместо (1.3) найдем граничные условия для  $u'$ ,  $\sigma'$ ,  $\Theta'$ :

$$(1.6) \quad d\Theta'/dy = 0, \quad u' = 0 \quad \text{при } y = 1, \\ d\Theta'/dy = \text{Bi} \Theta', \quad u' = 1 \quad \text{при } y = 0.$$

Для отыскания собственных чисел  $\beta$  уравнения (1.5), (1.6) представлялись в виде системы восьми обыкновенных дифференциальных уравнений первого порядка (для вещественных и мнимых частей возмущений). Численно методом Рунге—Кутты строились два линейно-независимых частных решения, для которых выполнены условия (1.6) в начальной точке интегрирования (при  $y = 0$ ). Затем строилась линейная комбинация этих частных решений. Необходимость удовлетворения граничных условиям при  $y = 1$  приводит к характеристическому уравнению, из которого находятся собственные числа задачи. Описанная процедура решения задач устойчивости с использованием численного построения частных решений методом Рунге—Кутты обсуждалась в [8].

На рис. 1 приведены результаты расчетов области неустойчивости для различных значений параметров  $\delta$ ,  $\kappa$ ,  $\text{Bi}$ ,  $A$  ( $\text{Bi} = 16; 4; 1; 0,01$  — линии 1—4). Течение неустойчиво в области, прилегающей к оси  $\kappa$ . Штриховыми линиями показаны границы для  $A = 0$  при соответствующих значениях  $\text{Bi}$ , сплошными — для  $A = 1$  (при больших  $A$  кривые с точностью до построения графика не меняются). Видно, что граница области принципиально зависит от  $\text{Bi}$ , параметр  $A$  влияет на ее положение в меньшей степени и для  $\text{Bi} < 1$  зависимость от  $A$  несущественна.

2. В связи с отмеченным фактом несущественной зависимости границы устойчивости от  $A$  в области указанных значений  $\text{Bi}$  и  $\kappa$  целесообразно рассмотреть задачу для  $A = 0$  (без первого уравнения (1.5)).

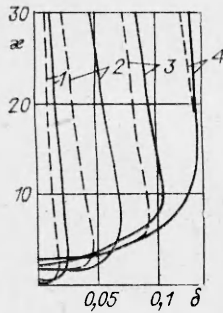
В этом случае система уравнений для возмущений имеет вид

$$(2.1) \quad \beta \sigma' = -\delta \sigma' \exp(\Theta_0) - \delta \sigma_0 \Theta' \exp(\Theta_0), \\ \beta \Theta' = \frac{1}{\text{Bi}} \frac{d^2 \Theta'}{dy^2} + \kappa \delta^2 \sigma_0^2 \Theta' \exp(\Theta_0) + 2\kappa \delta^2 \sigma_0 \sigma' \exp(\Theta_0)$$

при граничных условиях (1.6).

Решение задачи разыскивалось методом, описанным в п. 1, и методом Галеркина (численная реализация метода с использованием  $QR$ -алгоритма [9] для определения собственных значений выполнена Г. А. Королевым) в виде разложения

$$\begin{pmatrix} \sigma \\ \Theta \end{pmatrix} = \sum_{n=1}^{\infty} \begin{pmatrix} \alpha_n & \varphi_n \\ \beta_n & \psi_n \end{pmatrix}.$$



Р и с. 1

В качестве системы базовых функций выбирались собственные функции задачи (1.6), (2.1) при  $\Theta_0 = \text{const}$ :

$$(2.2) \quad \begin{aligned} \varphi_n &= 1/\sqrt{2} \cos \pi n y, \\ \psi_n &= 1/\|\Phi_n\| (\sin \omega_\Theta y + (\omega_\Theta/\text{Bi}) \cos \omega_\Theta y), \end{aligned}$$

где  $\omega_\Theta$  определяется из соотношения

$$(2.3) \quad \omega_\Theta \text{tg } \omega_\Theta = \text{Bi};$$

$\|\Phi_n\|$  — коэффициент нормировки. Система функций (2.2) полная и ортонормированная на отрезке  $[0; 1]$ .

Результаты, полученные обоими методами, совпадают с найденными из решения полной задачи (при  $A \rightarrow 0$ ), отмеченными на рис. 1 штриховыми линиями.

Для сравнения рассмотрим эту же задачу ( $A = 0$ ), но для постоянного значения стационарного решения  $\bar{\Theta}_0 = \text{const}$  (в качестве  $\bar{\Theta}_0$  можно взять осредненное по координате  $\int_0^1 \Theta_0(y) dy$  выражение  $\Theta_0(y)$  из третьей формулы (1.4)). В этом случае задача допускает аналитическое решение.

Уравнения (1.5) сводятся к одному

$$x^2 \Theta''/dy^2 + M \Theta' = 0,$$

где  $M = \text{Bi} \left( x \delta^2 \sigma_0^2 \exp(\Theta_0) - \frac{2x \sigma_0^2 \delta^3 \exp(2\bar{\Theta}_0)}{\beta - \delta \exp(\Theta_0)} - \beta \right)$ . Легко показать, что собственными функциями задачи (2.3) при граничных условиях (1.6) будут функции  $\psi_n$  из (2.2), в которых  $\omega_\Theta^2 = M$ .

Для неустойчивых возмущений  $\text{Re } \beta > 0$  (хотя бы для одного корня). Поэтому, используя условия Гурвица, найдем из характеристического уравнения критерий неустойчивости течения

$$(2.4) \quad \omega_\Theta^2/\text{Bi} + \delta \exp(\bar{\Theta}_0) - x \delta^2 \sigma_0^2 \exp(\bar{\Theta}_0) < 0.$$

Границы областей, определяемых этим соотношением, при различных  $\text{Bi}$  в пределах точности построения графика совпадают со штриховыми кривыми на рис. 1, полученными из решения полной задачи.

При  $\text{Bi} \rightarrow 0$  имеем из (2.3)  $\omega_\Theta^2/\text{Bi} \rightarrow 1$  и (2.4) переходит в условие

$$1 + \delta \exp(\bar{\Theta}_0) - x \delta^2 \sigma_0^2 \exp(\bar{\Theta}_0) < 0,$$

совпадающее с критерием неустойчивости [6].

3. Для выяснения характера нестационарного движения среды после потери устойчивости проведен численный анализ полной нелинейной системы (1.2) при граничных условиях (1.3). Разностная схема строится на основе метода интегральных соотношений [10].

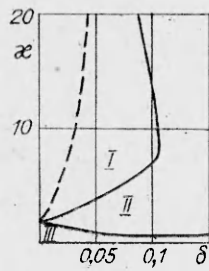
На сетке  $\omega_{h,\tau} = \omega_h \times \omega_\tau$ ,

$$\omega_h = \{y_i = ih, i = \overline{0, N}, hN = 1\},$$

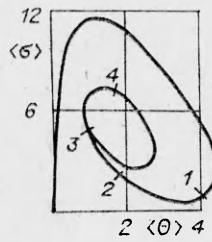
$$\omega_\tau = \{t_j = j\tau, j = 0, 1, 2, \dots\}$$

система уравнений (1.2) с условиями (1.3) аппроксимируется по разностной схеме

$$\begin{aligned} h [ {}^{(\alpha)}\sigma_t + \delta \sigma \exp(\bar{\Theta}) - {}^{(\alpha)}(\sigma_t + \hat{\sigma} \delta \exp \Theta) ] + \\ + A \tau (\sigma_y^{(\beta)} - \sigma_y^{(\beta)}) = 0, \\ h ( {}^{(\nu)}\Theta - {}^{(\nu)}\bar{\Theta} ) + (\tau/\text{Bi}) (\Theta_y^{(e)} - \Theta_y^{(e)}) - \\ - x \delta^2 h \tau ( {}^{(\mu)}\sigma^2 \exp(\bar{\Theta}) )^{(\nu)} = 0, \end{aligned}$$



Р и с. 2



Р и с. 3

в которой использованы следующие обозначения [10]:

$$\begin{aligned} \sigma(y_i, t_j) &= \sigma, \quad \sigma(y_i \pm h, t_j) = \sigma(\pm 1), \\ \sigma(y_i, t_j + \tau) &= \hat{\sigma}, \quad \sigma(y_i, t_j - \tau) = \tilde{\sigma}, \\ \sigma_y &= (\sigma(+1) - \sigma)/h, \quad \sigma_{\bar{y}} = (\sigma - \sigma(-1))/h, \quad \sigma_t = (\hat{\sigma} - \sigma)/\tau, \\ \sigma^{(\alpha)} &= \alpha \hat{\sigma} + (1 - \alpha)\sigma, \quad {}^{(\alpha)}\sigma = \alpha \sigma(+1) + (1 - \alpha)\sigma. \end{aligned}$$

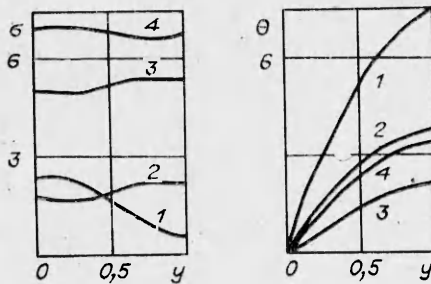
Для оценки точности производилось сравнение результатов расчета при шаге по времени  $\tau$  и  $\tau/2$ . Весовые коэффициенты разностной схемы выбирались из условий устойчивости метода прогонки [10], используемого для решения системы алгебраических уравнений, и все полагались равными 0,5. При выборе величины шага по времени в первом приближении ориентировались на соотношения, справедливые для обычной явной разностной схемы:

$$(3.1) \quad \tau < \frac{1}{\delta} \exp\left(-\max_{0 \leq i \leq N} \Theta_i\right), \quad \tau < \text{Bi} h^2/2.$$

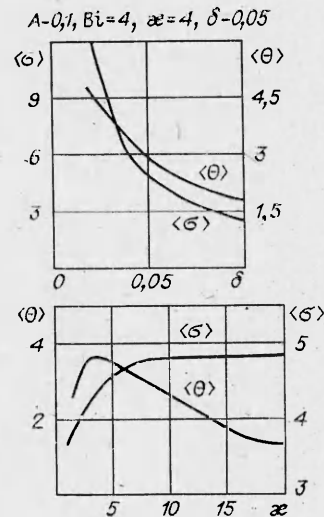
В дальнейшем в процессе счета эти соотношения уточнялись эмпирически. При этом устойчивость схемы обеспечивалась, как правило, при шагах по времени, больших, чем следовало из соотношений (3.1).

4. На рис. 2 приведены характерные области поведения решений при  $A = 1$ ,  $\text{Bi} = 1$ ,  $I$  — область колебаний вокруг стационарной точки (неустойчивый режим). Область устойчивости с точки зрения линейной задачи п. 1, 2 здесь разбивается на две ( $II$  и  $III$ ). В области  $II$  стационарная точка — устойчивый «фокус», в  $III$  — устойчивый «узел», в первом случае

$$\lim_{t \rightarrow \infty} (f_i(y_0, t) - f_i^{(0)}(y_0)) = 0,$$



Р и с. 4



Р и с. 5

во втором

$$f_i(y_0, t) - f_i^{(0)}(y_0) = 0, \quad t > t^*,$$

где  $f_i - u, \sigma, \Theta$ ;  $f_i^{(0)}$  — стационарное решение (1.4);  $0 \leq y_0 \leq 1$ .

На рис. 3 представлена фазовая диаграмма  $(\sigma^j, \Theta)$  для области автоколебаний осредненных  $\sigma$  и  $\Theta$  при  $A = 1, Bi = 16, \delta = 0,02, \kappa = 3,5$ .

Осреднение проводилось по формуле  $\langle \sigma^j \rangle = \frac{1}{N+1} \sum_{i=0}^N \sigma_i^j$ . Предельный цикл на этой диаграмме образуется вокруг  $\langle \sigma_0 \rangle, \langle \Theta_0 \rangle$  — осредненной стационарной точки.

На рис. 4 показано изменение распределения  $\langle \sigma \rangle, \langle \Theta \rangle$  по  $y$  в зависимости от времени. Кривые 1—4 на рис. 4 соответствуют точкам 1—4 на рис. 3. Функция  $u(y, t_0)$  при  $t > 0$  незначительно отличается от  $u(y, 0) = y$ .

Для периода колебаний величин  $\langle \sigma \rangle$  и  $\langle \Theta \rangle$  (в области I), полученных в результате настоящего расчета, можно пользоваться такой же формулой, как и в [6], выведенной при решении осредненной задачи  $T = \delta^{-0,71}(2,6 \cdot \kappa^{-0,5} + 0,24)$  с той же точностью (10—15%). Таким образом, в рассматриваемой области  $\kappa \leq 20$  нет существенной зависимости  $T$  от  $Bi$  и  $A$ .

Для амплитуды колебаний на рис. 5 приведены характерные графики зависимости от  $\delta$  и  $\kappa$ . Существенной зависимости амплитуд от  $Bi$  и  $A$  при  $\kappa \leq 20$  также не обнаружено. Следует отметить, что не при всех значениях  $\delta$  и  $\kappa$  удалось добиться устойчивого счета по разностной схеме. На рис. 2 штриховой линией отмечена приближенная граница области устойчивости схемы для  $Bi = 1, A = 1$ . При  $\kappa > e$  амплитуда колебаний  $\langle \sigma \rangle$  и  $\langle \Theta \rangle$  растет быстрее экспоненты при уменьшении  $\delta$  (рис. 5).

Изложенный в п. 1, 2 анализ краевой линейной задачи (относительно малых возмущений) позволяет определить область тепловой неустойчивости течения упруговязкой среды в зависимости от безразмерных параметров  $A, Bi, \kappa, \delta$ . Показано, что для небольших значений  $\kappa$  и  $Bi$  зависимость от параметра  $A$  несущественна и можно пользоваться приближенным критерием (2.4), полученным аналитически. Последний при  $Bi \rightarrow 0$  переходит в критерий, найденный в [6] при анализе осредненной (по пространственной координате) задачи. Численное решение нелинейной задачи принципиально подтвердило результаты линейного анализа и позволило установить закономерности развития течения после потери устойчивости.

#### ЛИТЕРАТУРА

1. Рехт Р. Ф. Разрушающий термопластический сдвиг. — Тр. Америк. о-ва инж.-мех. Прикл. механика, 1964, т. 21, сер. Е, № 2.
2. Волчков В. М., Виноградов М. А., Козлов А. А. Об устойчивости упругопластических течений. — ПМТФ, 1977, № 6.
3. Пашков П. О. Рост трещин в металлах. — В кн.: Металловедение и прочность материалов. Волгоград: Волгоград. политехн. ин-т, 1977, вып. 8.
4. Волчков В. М., Пашков П. О., Павлов А. И., Рогозин В. Д. О механизмах пластической деформации в сильных ударных волнах. — В кн.: Высокоскоростная деформация (вопросы поведения металлических материалов при импульсных нагружениях). М.: Наука, 1971.
5. Козлов А. А. Исследование контактных упругопластических деформаций при резании металлов. Канд. дис. — Тбилиси, 1979.
6. Бучацкий Л. М., Столин А. М., Худяев С. И. К теории тепловой неустойчивости течения вязкоупругой жидкости. — ПМТФ, 1979, № 3.
7. Годунов С. К. Элементы механики сплошной среды. — М.: Наука, 1978.
8. Бирих Р. В., Рудаков Р. П. Применение метода Рунге — Кутты для исследования устойчивости плоскопараллельных конвективных течений. — В кн.: Приближенное решение краевых задач и функциональных уравнений. Пермь: Перм. политехн. ин-т, 1971, № 84.
9. Уилкинсон Дж. Х. Алгебраическая проблема собственных значений. — М.: Наука, 1970.
10. Самарский А. А. Теория разностных схем. — М.: Наука, 1977.

Поступила 18/1 1985 г.